

همگرایی تابع خودکوواریانس نمونه‌ای در فرایندهای پایدار متقارن

صفیه محمودی^۱ ، سارا گرمیزی^۱

چکیده:

در فرایندهای ایستا با واریانس متناهی، تابع خودکوواریانس نمونه‌ای^۲ (*SACVF*) و تابع خودهمبستگی نمونه‌ای^۳ (*SACF*) به تابع خودکوواریانس و تابع خودهمبستگی فرایند همگرا هستند. اما در بسیاری از فرایندهای ایستای اکید با توزیع‌های کناری دم‌سنگین و واریانس نامتناهی، در صورتی که تابع خودکوواریانس با ضریب $\frac{\alpha}{\alpha - 1} n^{1-\frac{\alpha}{\alpha}}$ ، که آن را نزخ همگرایی تابع می‌نامیم تقسیم شود، به متغیر تصادفی پایدار با اندیس پایداری α میل می‌کند. در این مقاله همگرایی تابع خودکوواریانس نمونه‌ای و تابع خودهمبستگی نمونه‌ای فرایندهای ایستای α پایدار متقارن را بررسی می‌کنیم.
واژه‌های کلیدی: فرایندهای ایستا، تابع خودکوواریانس نمونه‌ای، تابع خودهمبستگی نمونه‌ای، توزیع‌های دم‌سنگین، متغیر تصادفی پایدار.

۱ مقدمه

ترتیب به صورت زیر تعریف می‌شوند:

$$\hat{\gamma}(h) = \frac{1}{n} \sum_{t=1}^{n-|h|} (x_{t+|h|} - \bar{x})(x_t - \bar{x}) \quad |h| < n,$$

^۶

$$\hat{\rho}(h) = \frac{\hat{\gamma}(h)}{\hat{\gamma}(0)},$$

که $x_t = \frac{1}{n} \sum_{t=1}^n x_t$ و در حالتی که فرایند دارای واریانس متناهی با میانگین صفر و دنباله ارگودیک باشد، $Cov(X_0, X_h) \xrightarrow{a.s.} \hat{\gamma}(h)$ و همچنین $\hat{\rho}(h) \xrightarrow{a.s.} \rho(h)$. (نماد $\xrightarrow{a.s.}$ به معنای همگرایی با احتمال یک است). [۲]

ولی در حالتی که واریانس نامتناهی و فرایند دارای توزیع کناری دم‌سنگین باشد تمرکز بر \bar{X} چندان معنی دار

اخیراً توجه بسیاری از آماردانان در آنالیز سری‌های زمانی متوجه داده‌هایی شده است که دارای خواصی مانند وابستگی‌های طولانی مدت، غیر خطی بودن و توزیع کناری دم‌سنگین^۴ هستند. چنین داده‌هایی بسیار زیادند از جمله داده‌های مالی، اقتصادی، مخابراتی و غیره و رفتار این داده‌ها نیز برای آنالیز آنها با سری‌های زمانی دیگر تفاوت‌های عمده‌ای دارد. [۵, ۷, ۸, ۹, ۱۱]
اگر x_1, x_2, \dots, x_n مشاهداتی از فرایند ایستای $\{X_t, t = 1, 2, \dots\}$ با واریانس متناهی باشند، آن‌گاه تابع خودکوواریانس نمونه‌ای و تابع خودهمبستگی نمونه‌ای به

^۱دانشکده علوم ریاضی دانشگاه صنعتی اصفهان

^۲Sample autocovariance

^۳Sample autocorrelation

^۴Heavy tail

در بسیاری از فرایندهای با واریانس نامتناهی ثابت شده است که برای تابع به کنندی تغییرپذیر^۶ L , کسر $\frac{\hat{\gamma}_n(h)}{n^{1-\gamma/\alpha} L(n)}$ در توزیع به یک متغیر تصادفی پایدار با اندیس $2/\alpha$ میل می‌کند. میل کردن $(\hat{\gamma}_n(h))$ به یک متغیر تصادفی باعث خواهد شد نتوانیم مانند حالتی که واریانس نامتناهی است از $(\hat{\gamma}_n(h))$ برای استنتاجات آماری استفاده کنیم. در این مقاله رفتار حدی $(\hat{\gamma}_n(h))$ را در فرایندهای (اکیداً) ایستای $S\alpha S$ (متقارن α -پایدار)، که کلاس بزرگی از فرایندهای ایستای دارای واریانس نامتناهی را شامل می‌شود، بررسی می‌کنیم.

۲ نکاتی در مورد فرایندهای $S\alpha S$

هر فرایند ایستای $S\alpha S$ یا α -پایدار متقارن $\{X_t, t = 1, 2, \dots\}$ دارای نمایشی به فرم M است که $t = 1, 2, \dots$ برای $X_t = \int_{\Omega} f_t(\omega) M(d\omega)$ یک اندازه تصادفی $S\alpha S$ روی Ω با اندازه کنترل m است و $\infty < \int_{\Omega} |f_t(\omega)|^{\alpha} m(d\omega) < 2^{\circ} < \alpha < 2^{\circ} < \infty$.

رازینسکی [۱۲] ثابت کرده است که هر فرایند ایستا به فرم بالا را می‌توان به سه قسمت مستقل و منحصر به فرد زیر

$$X_t = X_t^{(1)} + X_t^{(2)} + X_t^{(3)}, \quad (3)$$

تجزیه کرد، که $\{X_t^{(1)}\}$ یک فرایند میانگین متحرک آمیخته^۷, $\{X_t^{(2)}\}$ یک فرایند هارمونیک و $\{X_t^{(3)}\}$ نوع سوم از یک فرایند ایستای پایدار است که نه میانگین

نیست. لذا در فرایند ایستای (اکید) $\{X_t, t = 1, 2, \dots\}$ با توزیع کناری دمسنگین، تابع خودکوواریانس نمونه‌ای به صورت

$$\hat{\gamma}_n(h) = \frac{1}{n} \sum_{t=1}^n X_t X_{t+h}, \quad (1)$$

و تابع خودهمبستگی نمونه‌ای به فرم زیر تعریف می‌شود:

$$\hat{\rho}_n(h) = \frac{\hat{\gamma}_n(h)}{\hat{\gamma}_n(0)}. \quad (2)$$

در فرایند ایستا با واریانس نامتناهی، از تابع خودهمبستگی $ARMA(p, q)$ نمونه‌ای برای برآورده کردن یک مدل مناسب استفاده می‌شود. تابع خودکوواریانس نمونه‌ای در فرایندهای ایستا، ابزاری اساسی برای استنتاج و مدل‌یابی و پیش‌بینی در کلاس L_2 ، یعنی کلاس متغیرهای تصادفی با واریانس نامتناهی است. اما در صورتی که واریانس نامتناهی باشد چنین نتایجی لزوماً به دست نمی‌آیند. البته در حالتی که $\{X_t\}$ یک فرایند خطی با نویه‌های مستقل و هم‌توزیع با واریانس نامتناهی باشد، تابع خودکوواریانس نمونه‌ای حتی برای داده‌های دمسنگین خواص خوبی مانند سازگاری را دارد [۳, ۴]. اما در مدل‌های غیرخطی همیشه چنین خاصیتی برقرار نیست و اغلب سری‌های ایستای دمسنگین، غیرخطی هستند. برای مثال دیویس و رزنیک [۵] مثالی از یک سری زمانی دوخطی^۸ مطرح کردند که برای هر $h > 0$, h زمانی دوخطی^۹ مطروح کردند که برای هر $0 < h < 1$, W_1, W_2, \dots, W_h یک متغیر تصادفی غیرتاباهیده است. (نماد \Rightarrow به W_i معنای همگرایی در توزیع می‌باشد).

^۶تابع L را به کنندی تغییرپذیر گویند هرگاه به ازای هر مقدار مثبت t ,

$\lim_{x \rightarrow \infty} \frac{L(tx)}{L(x)} = 1$

Mixing^{۱۰}

توجه کنید که فرایند $\{X_t\}$ تعریف شده در رابطه (۲۹)، از نوع فرایند $\{X_t^{(1)}\}$ است. در این فرایند تابع خودکواریانس نمونه‌ای با نرخ $n^{2/\alpha-1}$ رشد کرده و در توزیع به یک متغیر تصادفی میل می‌کند. همچنین تابع خودهمبستگی نمونه‌ای این فرایند، همگرای ضعیف به یک متغیر تصادفی می‌باشد.

چون فرایند $\{X_t^{(2)}\}$ یک فرایند به طور شرطی مرکزی شده است، توابع خودکواریانس و خودهمبستگی نمونه‌ای آن به طور تصادفی کراندار هستند و با احتمال یک، به یک متغیر تصادفی ناتباهیده میل می‌کند. [۱۴]

در این مقاله به بررسی رفتار حدی تابع خودکواریانس فرایندهای از نوع سوم می‌پردازیم. همچنین برای خلاصه نویسی و نماد گزاری ساده‌تر از این قسمت منظور از فرایند متقارن پایدار $\{X_t\}$ فرایندی از نوع سوم است و $(h)^\gamma$ نیز تابع خودهمبستگی این فرایند خواهد بود.

با استفاده از یک زنجیر مارکف بازگشته پوچ با فضای وضعیت شمارا که در آن زمان بازگشت به یک موقعیت خاص دارای توزیعی با خاصیت تغییرپذیری منظم^۸ است. نشان می‌دهیم فرایند $\{X_t\}$ از نوع سوم را به گونه‌ای می‌توان ساخت که برای مقدار ثابت r و تابع به کندی تغییرپذیر L ، کسر $\frac{\hat{\gamma}_n(h)}{n^r L(n)}$ به یک متغیر تصادفی $\frac{\alpha}{3}$ -پایدار میل کند. بر اساس این که زنجیر مارکف را به چه صورت تعریف کنیم، r در فاصله‌ی $(1 - \alpha/2, 0)$ تغییر می‌کند. نکته جالب این است که در این حالت، ACF نمونه‌ای به مقدار ثابت میل می‌کند. فرض کنید $\{X_t\}$ یک فرایند SaS به صورت

متحرک و نه هارمونیک است.

قضیه زیر تعمیمی از نتیجه به دست آمده توسط رزنيک و همکاران [۹] است که در آن به بررسی رفتار حدی ACF و ACVF نمونه‌ای در فرایندهای میانگین متحرک آمیخته می‌پردازد.

قضیه ۱ فرض کنید m یک اندازه σ -متناهی روی Ω و λ اندازه لیگ روی \mathbb{R} باشد. اگر

$$\circ < \int_{\Omega} \int_{-\infty}^{\infty} |f(\omega, x)|^{\alpha} m(d\omega) \lambda(dx) < \infty$$

و

$$(X_t, \quad t = 1, 2, \dots) = \left(\int_{\Omega} \int_{-\infty}^{\infty} f(\omega, t+x) M(d\omega, dx), \quad t = 1, 2, \dots \right) \quad (4)$$

که در آن M ، اندازه تصادفی SaS روی \mathbb{R} با اندازه کنترل $\lambda \times m$ ، یک فرایند میانگین متحرک آمیخته باشد آنگاه برای هر $H \geq 0$

$$(n^{1-2/\alpha} \hat{\gamma}_n(h), \quad h = 0, 1, \dots, H) \Rightarrow \left(\left(\frac{C_{\alpha}}{C_{\alpha/2}} \right)^{2/\alpha} \int_{\Omega} \int_{-\infty}^{\infty} \sum_{t=-\infty}^{\infty} f(\omega, t+x) \right. \\ \left. f(\omega, t+h+x) \tilde{M}(d\omega, dx), \quad h = 0, 1, \dots, H \right)$$

که در آن \tilde{M} اندازه تصادفی $\frac{\alpha}{2}$ -پایدار و اکیداً مثبت روی $(0, \infty) \times \Omega$ با اندازه کنترل $\lambda \times m$ و مقداری ثابت می‌باشد. (نماد \Rightarrow به معنای همگرایی در توزیع می‌باشد).

^۸ متغیر X را دارای خاصیت تغییرپذیری منظم گوییم هرگاه به ازای مقادیر $2 < \alpha < 0$ ، $x^{\alpha} P(|X| > x)$ نسبت به x یک تابع به کندی تغییرپذیر باشد.

به طوری که

$$(Y'_n(h), h = \circ, \backslash, \dots, H) \stackrel{d}{=} \left(\int_{\Omega} \sum_{t=1}^n f_t(\omega) \times f_{t+h}(\omega) \tilde{M}(d\omega), h = \circ, \backslash, \dots, H \right), \quad (\forall)$$

تغییر متغیر در این فرایند خواهیم داشت: $X_t = \int_{\Omega} f_t(\omega) M(dw)$ باشد. حال اگر q یکتابع اکیداً مثبت روی Ω باشد به طوری که $\int_{\Omega} q(w)m(dw) = 1$ با توجه به این که m یک اندازه کنترل σ -متناهی است، چنین تابعی همواره وجود دارد. بنابراین با یک

$$(X_t, t = 1, 2, \dots) \stackrel{d}{=} \left(\int_{\Omega} f_t(w) q(w)^{(-1/\alpha)} M_{\circ}(dw), t = 1, 2, \dots \right)$$

که M یک اندازه‌ی تصادفی $S \alpha S$ با اندازه کنترل است و برای هر زیرمجموعه‌ی اندازه‌پذیر A از Ω ، $m_*(A) = \int_A q(w)m(dw)$ می‌باشد. با توجه به اینکه $m_*(\Omega) = 1$ نمایش زیر را برای $\{X_t\}$ داریم:

$$(X_t, t = 1, 2, \dots) \stackrel{d}{=} \left(C_{\alpha}^{\frac{1}{\alpha}} \sum_{i=1}^{\infty} \varepsilon_i \Gamma_i^{\frac{-1}{\alpha}} f_t(V_i) q(V_i)^{\frac{-1}{\alpha}}, t = 1, 2, \dots \right) \quad (\textcircled{5})$$

مقداری ثابت، $\{\varepsilon_i\}$ دنباله‌ای از متغیرهای C_α تصادفی iid را می‌چرخ و $\{\Gamma_i\}$ زمان‌های ورود 1° در یک فرایند پواسن با نرخ واحد روی $(0, \infty)$ و $\{V_i\}$ متغیرهای iid با توزیع m هستند و سه دنباله‌ی $\{\varepsilon_i\}$ و $\{\Gamma_i\}$ و $\{V_i\}$ مستقل هستند. [۱۴]

که در آن \tilde{M} اندازه‌ی تصادفی $\frac{\alpha}{\beta}$ -پایدار اکیدا مثبت روی Ω با اندازه کنترل m است. بنابراین طبق قضیه اسلوتوسکی^{۱۱} [۱] برای بررسی همگرایی (h) , کافی است به بررسی همگرایی (h) و $Y_n''(h)$ پیردازیم. با توجه به این‌که اندازه تصادفی M دارای نموهای مستقل است، در صورتی که در یک زنجیر مارکف $\{S_n\}_{n \geq 0}$ بازگشت به وضعیت اولیه (در اینجا صفر) شناسی کمی داشته باشد، تابع f_t را می‌توان به گونه‌ای مرتبط با زنجیر مارکف تعریف کرد که جرم بیشتری در تکیه‌گاه f_t و f_{t+h} روی مجموعه‌های مجزا متتمرکز شود و بنابراین وابستگی بین X_t و X_{t+h} کمتر باشد. در واقع سرعت بازگشت $\{S_n\}_{n \geq 0}$ به موقعیت اولیه معادل با قدرت همبستگی فرایند پایدار $\{X_t\}$ می‌باشد و در صورتی که زنجیر مارکف بازگشتی مثبت باشد، وابستگی فرایند پایدار حداکثر می‌شود که در واقع یک فرایند غیر ارگودیک خواهیم داشت. از طرف دیگر در صورتی که زنجیر انتقالی باشد حداقل وابستگی در فرایند پایدار وجود خواهد داشت یعنی، یک فرایند پایدار ارگودیک خواهیم

$$(n\hat{\gamma}_n(h), h = \circ, \backslash, \dots, H) \stackrel{d}{=} \left(\frac{C_\alpha}{C_{\alpha/\gamma}} \right)^{\gamma/\alpha} (Y'_n(h) + Y''_n(h), h = \circ, \backslash, \dots, H),$$

Rademacher
Arrival times
Slutsky's theorem

SaS ایستای آمیخته است که در آن M روی Ω اندازه‌ی SaS تصادفی SaS با اندازه‌ی کنترل m است. [۱۲]. حال اگر فرض کنید $\{a_n\}$ دنباله‌ای از اعداد مثبت باشد به طوری که $U_{ij}^{(n)}(h) = \lim_{n \rightarrow \infty} \frac{a_n}{n^{\max\{1, \frac{1}{\alpha}\}}} = \infty$ و همچنین $\sum_{t=1}^n f_t(V_i)f_{t+h}(V_j)q(V_i)^{-1/\alpha}q(V_j)^{-1/\alpha} \leq \lim_{n \rightarrow \infty} E\left|\frac{U_{ij}^{(n)}(h)}{a_n}\right| = 0$ و به ازای هر $h \geq 0$

$$a_n^{-1}Y_n''(h) \xrightarrow{p} 0. \quad (8)$$

و به ازای هر $h \in \mathbb{Z}_+$ ، اگر فرض کنید $(f_0, f_1, \dots, f_h) = E$ و $\gamma_i = f_i$ باشد W متغیر تصادفی اکیداً پایدار با اندیس پایداری $\frac{\alpha}{2}$ باشد آنگاه:

$$\frac{1}{a_n}(Y'_n(0), Y'_n(1), \dots, Y'_n(h)) \Rightarrow (\gamma_0, \gamma_1, \dots, \gamma_h)W. \quad (9)$$

برای اثبات دقیق تمام موارد به مرجع [۱۰] مراجعه شود.

۳ نتیجه اصلی

برای $\omega \in \Omega$ ، $\omega = (\omega_0, \omega_1, \dots)$ تابع $\tau_1(\omega) = \min\{n : n > 0, \omega_n = 0\}$ را اولین زمان برخورد به صفر و برای $\tau_{k-1}(\omega) < k < \infty$ اگر $\tau_k(\omega) = \min\{n : n > \tau_{k-1}(\omega), \omega_n = 0\}$ زمان برخورد به صفر در نظر بگیرید. در صورتی که دوره‌ی تناوب زنجیر مارکف $\{S_n\}$ باشد، فرض کنید تابع به کندی تغییرپذیر L_\circ وجود دارد به طوری که

$$\sum_{k=1}^n P_\circ[\tau_1 \geq k] = n^\beta L_\circ(n), \quad (10)$$

فرایند میانگین متحرک آمیخته ختم خواهد شد. با توجه به اینکه رفتارتابع خود کوواریانس نمونه‌ای یک فرایند میانگین متحرک آمیخته در قسمت قبل بیان شد، زنجیر را بازگشتی پوچ در نظر می‌گیریم و رفتارتابع خود کوواریانس نمونه‌ای فرایندهای پایدار نظیر یک زنجیر مارکف بازگشتی پوچ را بررسی می‌کنیم.

برای ساختن یک فرایند SaS ایستای وابسته به زنجیر مارکف بازگشتی پوچ، فرض کنید $\Omega = \mathbb{Z}^{\mathbb{Z}^+}$ یک زنجیر مارکف بازگشتی پوچ تحویل‌نپذیر با فضای وضعیت \mathbb{Z} باشد و فرض کنید به ازای هر $k \in \mathbb{Z}$ P_k تابع توزیع احتمال روی Ω برای زنجیر $\{S_n\}_{n \geq 0}$ با شروع از $S_0 = k$ باشد. همچنین μ یک اندازه‌ی پایا برای $\{S_n\}$ باشد بدین معنا

که،

$$\sum_{k \in \mathbb{Z}} \mu(\{k\}) P_k[S_1 \in B] = \mu(B), \quad \forall B \subset \mathbb{Z}.$$

با فرض اینکه $\mu\{0\} = 1$ ، اندازه‌ی m را روی Ω برای هر مجموعه‌ی اندازه‌پذیر $A \subset \Omega$ به صورت $m(A) = \sum_{k=-\infty}^{\infty} P_k(A) \mu(\{k\})$ تعریف می‌کنیم. تبدیل مکانی θ را به صورتی در نظر می‌گیریم که $\theta(\omega) = (\omega_1, \omega_2, \dots) \in \Omega$ و $\omega = (\omega_0, \omega_1, \dots)$. حافظ اندازه‌ی m باشد و تابع حقیقی $R : \Omega \rightarrow \mathbb{R}$ را به گونه‌ای تعریف می‌کنیم که

$$\circ < \int |f_\circ(\omega)|^\alpha m(d\omega) < \infty,$$

و

$$f_\circ(\omega) = f_\circ(\omega) I_{[\omega_0 = 0]}.$$

و برای $t = 1, 2, \dots$ فرایند $f_t(\omega) = f_{t-1}(\theta(\omega))$. تعريف شده، یک فرایند $X_t = \int f_t(\omega) M(d\omega)$ با f_t و m تعريف شده،

برای شبیه‌سازی فرض می‌کنیم که $\{ \circ = A \}$. چون شبیه‌سازی فرایندهای SaS به طور مستقیم کار ساده‌ای نیست از نمایش سری گون این فرایندها که در رابطه (۵) مطرح شد، برای شبیه‌سازی استفاده می‌کنیم.

زنجر قدم زدن تصادفی متقارن ξ_n با $E\xi_1 = 0$ و $E\xi^2 < \infty$ با توزیع آغازین زیر را در نظر بگیرید.

$$p_m = \frac{1}{3} 2^{-|m|}, \quad m = 0, \pm 1, \pm 2, \dots, \quad (11)$$

سری زیر را با استفاده از این زنجر می‌سازیم

$$X_n = \sum_{i=1}^K \varepsilon_i \Gamma_i^{-\frac{1}{\alpha}} 2^{\frac{|Y_n^i|}{\alpha}} I_{[Y_n^i = 0]}, \quad n = 0, 1, 2, \dots$$

یک دنباله $i.i.d$ از متغیرهای تصادفی را مچر، $\{ \varepsilon_i \}_{i \geq 1}$ دنباله‌ای از زمان‌های رسیدن فرایند پواسن با پارامتریک روی $(0, \infty]$ و $\{ Y_n^i, n \in \mathbb{N} \}$ زنجر قدم زدن تصادفی متقارن $i.i.d$ با توزیع آغازین داده شده در رابطه (۱۱) است و همه فرایندهای مذکور مستقل‌اند. بنابراین تولید داده‌های آنها منجر به شبیه‌سازی فرایند می‌شود. کافی است داده‌های تصادفی نظیر هر یک تولید شود و البته فرایند $\{ Y_n^1 \}$ با توزیع آغازین رابطه (۱۱)، یعنی هر بار Y_n^1 را به گونه‌ای تولید کنیم که شанс اختیار کردن مقدار m در آن برابر $\frac{1}{3} 2^{|m|}$ باشد.

برای شبیه‌سازی داده از این سری، $K = 10^5$ و $\alpha = 1/5$ را در نظر گرفته و در هر بار شبیه‌سازی، 1000 داده تولید می‌کنیم. اگر $I_{[\omega_n = 0]} = f_\circ$ و $\gamma_h = P_\circ[S_h = 0] = p_h$

و $\circ > \beta$ یا $\alpha > 1$. حال با توجه به تجزیه رازینسکی و همکاران که در رابطه (۶) مطرح شد و قضیه اسلوتسکی برای رفتار حدی دو جزء Y'_n و Y''_n در روابط (۸) و (۹) اثبات قضیه زیر واضح است.

قضیه ۲ . اگر $2 < \alpha < \beta \leq 0$ و زنجر مارکف بازگشتی پوچ و تحويل ناپذیر $\{ S_n \}$ ، در فرض رابطه (۷) صدق کند آنگاه تابع به کندی تغییرپذیر L و متغیر تصادفی $a/2$ -پایدار و اکیداً مثبت W وجود دارند به طوری که به ازای هر $h \in \mathbb{Z}_+$ در صورتی که $n \rightarrow \infty$

$$\frac{1}{n^{\beta(2/\alpha-1)} L(n)} (\hat{\gamma}_n(0), \hat{\gamma}_n(1), \dots, \hat{\gamma}_n(h)) \Rightarrow W(\gamma_0, \gamma_1, \dots, \gamma_h).$$

و $\gamma_0 / \gamma_h \xrightarrow{p} \hat{\rho}_n(h)$ که در آن $\hat{\gamma}_n$ و $\hat{\rho}_n$ تعریف شده در روابط (۱) و (۲) هستند و برای $i = 0, 1, \dots, h$ است. $\gamma_i = E_\circ(f_\circ f_i)$.

برای اثبات دقیق‌تر مرجع [۱۰] را ملاحظه فرمایید.

۴ شبیه‌سازی

در این بخش با استفاده از شبیه‌سازی از یک فرایند $\{ X_t^{(3)} \}$ که توسط یک زنجر قدم زدن تصادفی متقارن تولید شده است، به طور تجربی به بررسی نتایج بدست آمده در بخش قبل می‌پردازیم و با رسم نمودار تابع خودهمبستگی داده‌های شبیه‌سازی شده، رفتار مجانبی ACF و ACVF نمونه‌ای را مورد بررسی قرار می‌دهیم. فرایند ایستای SaS زیر را در نظر بگیرید:

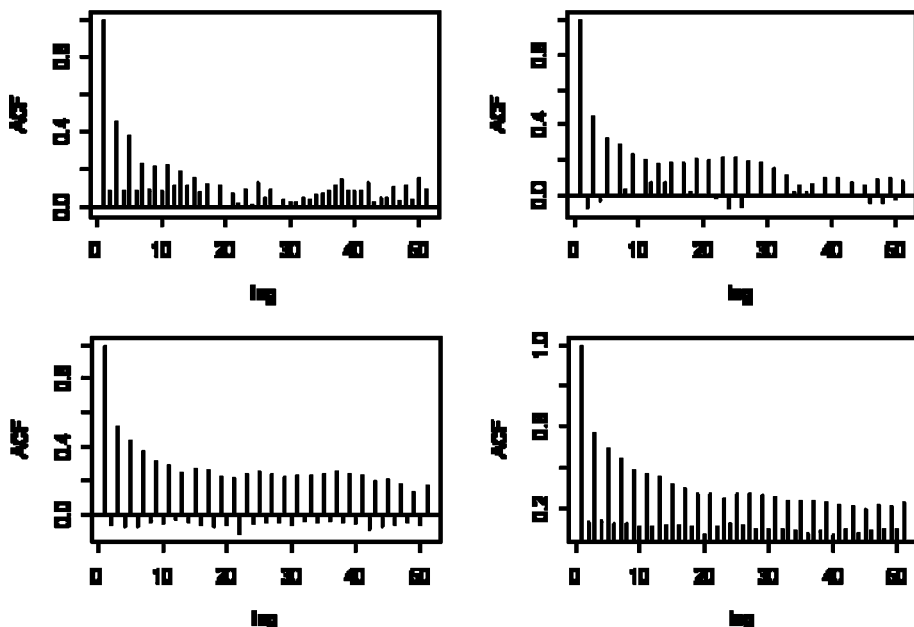
$$X_n = \int_{\mathbb{Z}^2} I_{[\omega_n \in A]} M(d\omega), \quad n = 0, \pm 1, \pm 2, \dots$$

برای n ‌های مختلف از تا خیر ۱ تا ۸ حساب کرده‌ایم و در ردیف آخر هر جدول برای مقایسه، مقدار p_h بددست آمده در رابطه قبل را قرار داده‌ایم. در این جدول مشاهده می‌کنید که با بزرگ شدن n ، میل کردن ACF نمونه‌ای ACVF به یک عدد ثابت مشهودتر است در صورتی که نمونه‌ای در شکل (۲) رفتاری تصادفی از خود نشان می‌دهد.

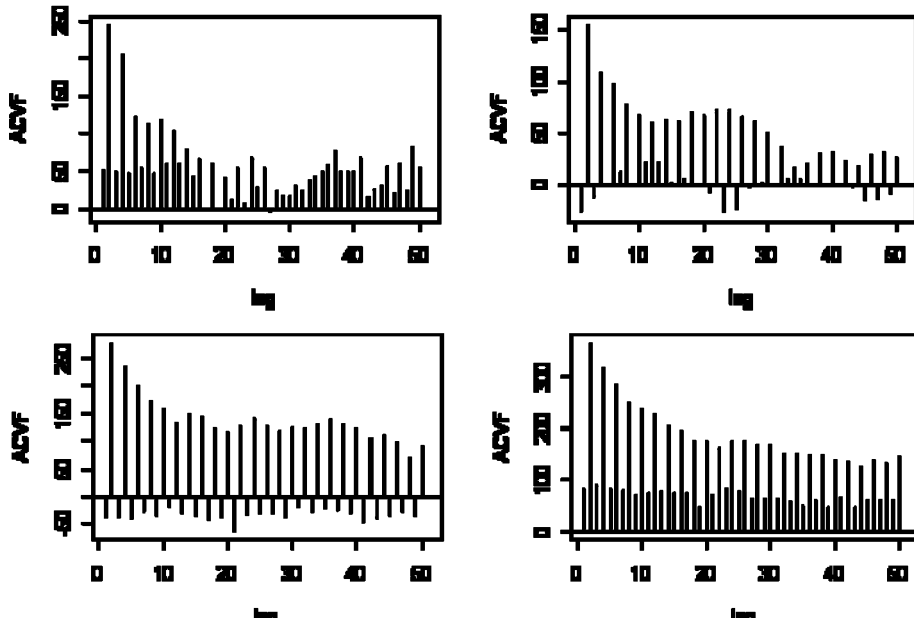
حد مکانی [۶] برای $h > 0$ ، زمانی که $n \rightarrow \infty$ ، داریم

$$\hat{p}_n(h) \xrightarrow{P} p_h = \begin{cases} \left(\frac{h}{h+2}\right)^{2-h} & \text{اگر } h \text{ زوج باشد} \\ 0 & \text{اگر } h \text{ فرد باشد} \end{cases}$$

نمودار و جدول ACF نمونه‌ای این داده‌های شبیه‌سازی شده در شکل (۱) و جدول (۱) و همچنین نمودار ACVF نمونه‌ای آنها در شکل (۲) ارائه شده است. در جدول (۱) مقدار \hat{p}_n را در هر چهار بار شبیه‌سازی



شکل ۱. نمودار ACF نمونه‌ای برای فرایند $\{X_t^{(n)}\}$ و $n = 100$ و 1000

شکل ۲. نمودار ACVF نمونه‌ای برای فرایند $\{X_t^{(r)}\}$ و $n = 1000$ جدول ۱. نمودار ACF نمونه‌ای برای فرایند $\{X_t^{(r)}\}$

λ	γ	η	δ	ϵ	ζ	ϑ	τ	ρ	lag
-0/045	0/009	0/011	0/0180	0/240	0/0570	0/1670	0/0862	n = 100	
0/084	0/039	0/090	0/021	0/293	0/042	0/321	0/070	n = 300	
0/171	0/1	0/157	0/102	0/32	0/126	0/365	0/133	n = 500	
0/219	0/113	0/223	0/103	0/38	0/112	0/449	0/111	n = 700	
0/22	0/106	0/228	0/093	0/381	0/097	0/453	0/079	n = 900	
0/21	0/102	0/229	0/088	0/382	0/094	0/455	0/094	n = 1000	
0/273	0	0/312	0	0/325	0	0/5	0		p_h

λ	γ	η	δ	ϵ	ζ	ϑ	τ	ρ	lag
0/2080	0/2080	0/2260	0/2010	0/223	0/1420	0/430	0/037	n = 100	
0/244	0/091	0/29	0/066	0/256	0/012	0/416	-0/046	n = 300	
0/227	0/085	0/273	0/052	0/255	0/014	0/412	-0/05	n = 500	
0/206	0/119	0/273	0/066	0/291	0/021	0/434	-0/034	n = 700	
0/213	0/079	0/275	0/033	0/304	0	0/44	-0/053	n = 900	
0/232	0/041	0/288	0	0/321	-0/03	0/455	-0/077	n = 1000	
0/273	0	0/312	0	0/325	0	0/5	0		p_h

λ	γ	η	δ	ϵ	ζ	ϑ	τ	ρ	lag
0/0940	0/041	0/109	-0/097	0/277	-0/171	0/293	-0/17	n = 100	
0/299	-0/029	0/34	-0/105	0/456	-0/135	0/509	-0/105	n = 300	
0/309	-0/054	0/371	-0/101	0/455	-0/121	0/495	-0/089	n = 500	
0/28	-0/062	0/329	-0/084	0/419	-0/088	0/492	-0/074	n = 700	
0/284	0/056	0/335	-0/076	0/42	-0/075	0/495	-0/07	n = 900	
0/321	-0/051	0/372	0/075	0/439	-0/074	0/518	-0/071	n = 1000	
0/273	0	0/312	0	0/325	0	0/5	0		p_h

ادامه جدول ۱

λ	γ	τ	δ	ϵ	ζ	φ	ψ	lag
۰/۳۸۷۰	۰/۲۸۱۰	۰/۴۳۷۰	۰/۳۲۸۰	۰/۴۵۲۰	۰/۴۲۱۰	۰/۴۳۳۰	۰/۲۹۹۰	$n = 100$
۰/۴۰۱	۰/۲۶۶	۰/۴۵۶	۰/۲۲۲	۰/۴۹۳	۰/۲۷۵	۰/۵۴۶	۰/۲۱۲	$n = 200$
۰/۴۲	۰/۱۶۱	۰/۴۷۵	۰/۱۵۳	۰/۵۲۱	۰/۱۷۴	۰/۵۸	۰/۱۴۳	$n = 500$
۰/۳۹۸	۰/۱۲۴	۰/۴۵۱	۰/۱۲۷	۰/۵	۰/۱۵۷	۰/۵۷۵	۰/۱۴	$n = 700$
۰/۴	۰/۱۲۸	۰/۴۵۲	۰/۱۳۲	۰/۵۰۲	۰/۱۴۵	۰/۵۷۷	۰/۱۳۳	$n = 900$
۰/۳۹۲	۰/۱۲۹	۰/۴۴۷	۰/۱۲۳	۰/۴۹۷	۰/۱۴۵	۰/۵۷۵	۰/۱۳۵	$n = 1000$
۰/۲۷۳	۰	۰/۳۱۲	۰	۰/۳۷۵	۰	۰/۵	۰	p_h

مراجع

- [1] Billingsley, P. (1995), *Probability and Measure*, 3rd Ed., Wiley, New York.
- [2] Brockwell, P. and Davis, R. (1991), *Time Series: Theory and Methods*, 2nd Ed., Springer, New York.
- [3] Davis, R. and Resnick, S. (1985), Limit theory for moving average of random variables with regularly varying tail probabilities, *Annual Probability* , 13, 179-195.
- [4] Davis, R. and Resnick, S. (1986), Limite theory for the sample covariance and correlation functions of moving averages, *Annual Statistics*, 14, 533-558.
- [5] Davis, R. and Resnick, S. (1996), Limite theory for bilinear processes with heavy tailed noise, *Annual Applied Probability*, 6, 1191-1210 .
- [6] Durrett, R. (1996), *Probability: Theory and Examples*, 2nd Ed., Duxbury Press, Belmont.
- [7] Feigin, P. and Resnik, S. (1999), Pitfalls of fitting autoregressive models with emphasis on heavy-tailed time series, *Extremes*, 1, 391-422.
- [8] Resnick, S. (1998), Why non-linearities can ruin the heavy tailed modelers day, In: Adler, R., Feldman, R., Taqqu, M. (Eds.), *A Practical Guide To Heavy Tails: Statistical Techniques for Analyzing Heavy Tailed Distribution*, Birkhauser, Boston.
- [9] Resnick, S., Samorodnitsky, G. and Xue, F. (1999), *How misleading can sample acf's of stable MA's be?(very)* , Technical Report 1209, Department of Operations Research and Industrial

Engineering, Cornell University. Available at <http://www.orie.cornell.edu/trlist/trlist.html> as

TR1209.ps.Z; *ann. App. Probab.*, 9, no.3.

- [10] Resnick, S., Samorodnitsky, G. and Xue, F. (2000), Growth rates of sample covariances of stationary symmetric alpha-stable processes associated with null recurrent Markov chains, *stochastic processes and Application*, 85, 321-339.
- [11] Resnick, S. and Van Den Berg, E. (1999), Sample correlation behavior for the heavy tailed general bilinear process, Technical Report 1210, Department of Operations Research and Industrial Engineering, Cornell University, Available at <http://www.orie.cornell.edu/trlist/trlist.html> as TR1209.ps.Z; *ann. App. Probab.*, 9, no, 3.
- [12] Rosinski, J. (1997), Structure of stationary stable process, In: Alder. R., Feldman. R., Taqqu. M. (Eds), *A Practical Guide To Heavy Tails: Statistical Techniques for Analyzing Heavy Tailed Distribution*, Birkhauser, Boston.
- [13] Rosinski, J. and Samorodnitsky, G. (1996), Classes of mixing stable process, *Bernoulli*, 2, 365-377.
- [14] Samorodnitsky, G. and Taqqu, M. (1994), *Stable Non-Gaussian Random Process, Stochastic Modeling*, chapman and Hall, New York.